

I-2

ラーメンの曲げフリープ

九州大学 正員 山崎徳世
長崎大学 正員 橋本武

1. 緒言

常温における骨組構造の曲げフリープは、応力変動が緩慢であるため、瞬間硬化説を用いてもよい。しかし硬化説を用いてもよいことは同じ結果を与えること、および瞬間硬化説が数值的取扱いの上で秀れていることから、一径剛がりに関する既往研究の多くは瞬間硬化説を採用してゐる。また、著者らも、瞬間硬化説にもとづいて、¹⁾ 集中荷重を及ぼす連続がりの曲げフリープ解法を提示し、アルミニウム等の軽伸材を用いた連続がり構造では常温でのフリープたわげの検算が容易であることを指摘したか、²⁾ 加ふる理論を応用拡張してラーメンの曲げフリープ解法を提示せんとするものである。

ラーメンの曲げフリープ解法には、たわげ角-端モーメント関係式を誘導するが、これを扱う方法と、基本連立方程式に与へた方法との差がある。前者は部材毎に曲げ剛性の異なる本範囲の連続がりやラーメンに適用可能であるが、後者は等断面材が一列に直結する部材列を併し連続がりや一層ラーメンに限定適用される。しかし、後者は未知不決定力を求めるための連立方程式の数が前者より少なくて済む利点をもつ。以上の点と、¹⁾ 以下の方法が一長一短があり一般に優劣をつけ難いので、本論では方法を併記することとする。なお、解析にあつては次の諸値を仮定する。

- 1) ラーメンの各部材には集中荷重またはモーメント荷重が作用するものとする。
- 2) ラーメン各部材において、せん断力が0の区間は存在しないものとする。
- 3) 時刻 $t=0$ の静的なたわごと変形に与へる瞬間的なたわげを用いる。
- 4) 時刻 $t=\infty$ では曲げフリープの定常状態にあり、加ふるフリープ則としてカスレ則を用いる。

2 たわげ角-端モーメント関係式による解法

図-1に示すごとく、部材ABの中間において集中荷重 $P_1 \sim P_n$ およびモーメント荷重 $M_1 \sim M_n$ が作用するものとせし、これら荷重の作用点と端Aとの距離をそれぞれ $x_1 \sim x_n$ とする。また、端A, B には端モーメント M_{A0}, M_{B0} および支反力 P_{A0}, P_{B0} が作用するものとする。各力およびモーメントの符号は図中矢印の向きを正とする。

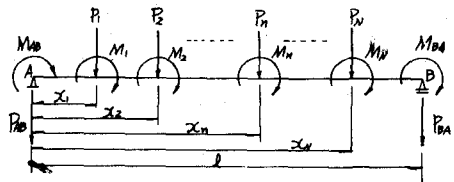


図 - 1

瞬間硬化説にもとづいて、端Aから任意の距離 x にある断面の、任意の時刻 t における上縁の線変位 δ_0 およびフリープたわげ速度 $\dot{\delta}_0^{(c)}$ が次式のごとく表わされるものと仮定する。

$$\delta_0 = \frac{Mx}{I_0} \left\{ \frac{I_0}{I_\infty} d_0^{\frac{1}{2}} + \left(d_0 - \frac{I_0}{I_\infty} d_0^{\frac{1}{2}} \right) e^{-\beta t} \right\}, \quad \dot{\delta}_0^{(c)} = \alpha K \delta_0 e^{-\beta t} + B \delta_0^{\alpha}, \quad (1)$$

$$\text{こゝに} \quad I_0 = \int_A y^2 dA, \quad I_\infty = \int_A y^{1+\beta} dA,$$

d_0 : 時刻 $t=0$ のときの断面線端から中立軸までの距離 z , $\int_A y dA = 0$ より算定される。

d_∞ : 時刻 $t=\infty$ のときの断面線端から中立軸までの距離 z , $\int_A y^{\frac{1}{2}} dA = 0$ より算定される。

α, K, B, β : 材料の圧縮または引張フリープ試験による決定される材料定数。

Mx : 任意の距離 x における断面の曲げモーメントで、図-1の荷重状態に依つて次式のごとく

$$\therefore \text{又} \Rightarrow M_x' = \sum_{n=1}^N \{ M_n H_n - P_n H_n (x-x_n) \} + M_{AB} - P_{AB} x \quad (H_n: \text{unit step function}) \quad (2)$$

式(1)の仮定と平面保線法の則から、部材ABo任意の時刻tにおけるたわみ曲線式yおよびV:たわみ角曲線式dy/dxが次のごとく導定される。

$$y = -\text{sign}(M_x') \frac{M_x}{Q_x^2} + (C + \sum_{n=1}^N \frac{P_n \overline{M}_n H_n}{Q_{n1} \cdot Q_n}) x + C' - \sum_{n=1}^N \frac{P_n H_n}{Q_{n1} \cdot Q_n} \left\{ -\text{sign}(M_n') \frac{Q_{n1} + Q_n}{Q_{n1} \cdot Q_n} \cdot M_n + \overline{M}_n x_n \right\} \quad (3)$$

$$\frac{dy}{dx} = -\frac{\overline{M}_x}{Q_x} + C + \sum_{n=1}^N \frac{P_n \overline{M}_n H_n}{Q_{n1} \cdot Q_n} \quad (4)$$

$$\therefore \text{よ} \text{に} \quad \overline{M}_x = \frac{K_1}{2} |M_x'|^2 + \frac{K_2}{\alpha+1} |M_x'|^{\alpha+1} + \frac{K_3}{\beta+1} |M_x'|^{\beta+1}$$

$$M_x = \frac{K_1}{2} |M_x'|^2 + \frac{K_2}{(\alpha+1)(\alpha+2)} |M_x'|^{\alpha+2} + \frac{K_3}{(\beta+1)(\beta+2)} |M_x'|^{\beta+2}$$

$$K_1 = \frac{d_0}{E I_0 d}, \quad K_2 = \frac{K R_1^{\alpha}}{R_2 (\alpha+1) I_0^{\alpha} d}, \quad \left\{ (1+R_2)^{\alpha+1} - (1+R_2 e^{-\beta t})^{\alpha+1} \right\},$$

$$K_3 = \frac{B R_1^{\beta}}{I_0^{\beta} d} \left\{ t + \frac{R_2 \beta}{\delta} (1 - e^{-\beta t}) \right\}, \quad R_1 = \chi d \alpha^{\frac{1}{\alpha}}, \quad R_2 = \frac{d_0}{R_1} - 1, \quad \chi = \frac{I_0}{I_n}$$

$$Q_x = -\sum_{n=1}^N P_n H_n - P_{AB}, \quad E: \text{弾性係数}, \quad C, C': \text{積分定数}$$

d: 時刻tのときの断面撓線から中立軸までの距離z, 直線的に次式で与えられる。

$$d = d_{00} + (d_0 - d_{00}) e^{-\beta t}$$

$M_n, \overline{M}_n, Q_n, M_n'$: $M_x, \overline{M}_x, Q_x, M_x'$ に $x = x_n$ を代入して与えられる諸値を示すことができる。

同 - 1 の部材ABにおいては、支床A, Bが一様に垂直変位 d_{AB}, d_{BA} を起すものと見れば、積分定数CおよびC'が次のごとく与えられる。

$$C = \frac{1}{l} (d_{BA} - d_{AB}) - \text{sign}(M_{AB}) \cdot \frac{M_{AB}}{l P_{AB}} - \text{sign}(M_{BA}) \cdot \frac{M_{BA}}{l P_{BA}} - \sum_{n=1}^N \frac{P_n \overline{M}_n}{Q_{n1} \cdot Q_n} \\ + \sum_{n=1}^N \frac{P_n}{Q_{n1} \cdot Q_n} \left\{ -\text{sign}(M_n') \frac{Q_{n1} + Q_n}{Q_{n1} \cdot Q_n} \cdot M_n + \overline{M}_n x_n \right\} \frac{1}{l}$$

$$C' = d_{AB} + \text{sign}(M_{AB}) \cdot \frac{M_{AB}}{P_{AB}}$$

上記2式を式(3), (4)に代入する。適宜整理すれば、部材ABoたわみ曲線式yおよびV:たわみ角曲線式dy/dxが次のごとく与えられる。

$$y = -\text{sign}(M_x') \frac{M_x}{Q_x^2} + \text{sign}(M_{AB}) \cdot \frac{M_{AB}}{P_{AB}} (1 - \frac{x}{l}) - \text{sign}(M_{BA}) \cdot \frac{M_{BA}}{P_{BA}} \frac{x}{l} \\ - \sum_{n=1}^N \frac{P_n \overline{M}_n}{Q_{n1} \cdot Q_n} (1 - H_n) x + \sum_{n=1}^N \frac{P_n}{Q_{n1} \cdot Q_n} \left\{ -\text{sign}(M_n') \frac{Q_{n1} + Q_n}{Q_{n1} \cdot Q_n} \cdot M_n + \overline{M}_n x_n \right\} \left(\frac{x}{l} - H_n \right) + d_{AB} (1 - \frac{x}{l}) + d_{BA} \frac{x}{l} \quad (5)$$

$$\frac{dy}{dx} = -\frac{\overline{M}_x}{Q_x} - \text{sign}(M_{AB}) \cdot \frac{M_{AB}}{l P_{AB}} - \text{sign}(M_{BA}) \cdot \frac{M_{BA}}{l P_{BA}} - \sum_{n=1}^N \frac{P_n \overline{M}_n}{Q_{n1} \cdot Q_n} (1 - H_n) \\ + \sum_{n=1}^N \frac{P_n}{Q_{n1} \cdot Q_n} \left\{ -\text{sign}(M_n') \frac{Q_{n1} + Q_n}{Q_{n1} \cdot Q_n} \cdot \frac{M_n}{l} + \overline{M}_n \frac{x_n}{l} \right\} + \frac{1}{l} (d_{BA} - d_{AB}) \quad (6)$$

部材両端A, Bのたわみ角を Q_{AB}, Q_{BA} とすれば、これらの式(6)から直ちに次のごとく与えられる。

$$Q_{AB} = \frac{1}{P_{AB}} \left\{ \overline{M}_{AB} - \text{sign}(M_{AB}) \cdot \frac{M_{AB}}{l P_{AB}} \right\} - \text{sign}(M_{BA}) \cdot \frac{M_{BA}}{l P_{BA}} \\ - \sum_{n=1}^N \frac{P_n}{Q_{n1} \cdot Q_n} \left\{ \text{sign}(M_n') \frac{Q_{n1} + Q_n}{Q_{n1} \cdot Q_n} \cdot \frac{M_n}{l} + \overline{M}_n (1 - \frac{x_n}{l}) \right\} + \frac{1}{l} (d_{BA} - d_{AB}) \quad (7)$$

$$Q_{BA} = \frac{1}{P_{BA}} \left\{ -\overline{M}_{BA} - \text{sign}(M_{BA}) \cdot \frac{M_{BA}}{l P_{BA}} \right\} - \text{sign}(M_{AB}) \cdot \frac{M_{AB}}{l P_{AB}} \\ - \sum_{n=1}^N \frac{P_n}{Q_{n1} \cdot Q_n} \left\{ \text{sign}(M_n') \frac{Q_{n1} + Q_n}{Q_{n1} \cdot Q_n} \cdot \frac{M_n}{l} - \overline{M}_n \frac{x_n}{l} \right\} + \frac{1}{l} (d_{BA} - d_{AB}) \quad (8)$$

すなわち、両端A, Bのせん断力は次のごとくである。

$$P_{AB} = \frac{1}{l}(M_{AB} + M_{BA}) + \sum_{n=1}^N \left\{ \frac{M_n}{l} - P_n \left(1 - \frac{x_n}{l}\right) \right\}, \quad P_{BA} = -\frac{1}{l}(M_{AB} + M_{BA}) - \sum_{n=1}^N \left\{ \frac{M_n}{l} + P_n \frac{x_n}{l} \right\} \quad (9)$$

以上、式(9), (10)および式(11)が本法の基本方程式である。

式(9), (10)に示すたかたけ片一端モーメント関係式は未知不決定モーメント M_{AB}, M_{BA} の一次式で与えられるが、既往の解析理論におけるごとく、変形量を未知数とするたかたけ角式を誘導しようとするラメーン解析を行うことは不可能で、端モーメントを直接未知数とする余力法によるたかたけ角式を導く必要がある。たかたけ角ラメーンの各節点におけるモーメントの釣合条件式と各部材の端たかたけ角の変形条件式をたかたけ角式(9)を用いて連立方程式を求め、さらに、境界条件式を加えてたかたけ角連立方程式を試算による収束計算によって解かればならないこととなる。

3. 基本連立方程式による解法

図-2に示すごとく多層ラメーンにフックを考へる。

はり部材列ABおよび柱に集荷面をとおすモーメント荷重が作用したとき、部材列ABは柱の頭部から自重及び反力モーメントの作用を受けるが、これを諸力をも部材列ABに作用する荷重とみなし、全たかたけ角に對して端A側から順次サフィックス $0, 1, 2, \dots, n, \dots, N, N+1$ を振せば、図-2の部材列ABは図-1に示す一層間はりABと同じこととなり、単にサフィックス AB の代りに π サフィックス $0, 1, 2, \dots, N+1$ の代りにサフィックス $N+1$ を用いるだけである。したがって、本題の部材列ABのたかたけ角曲線およびたかたけ角曲線の各式表示(5)および(6)で表わす可い。

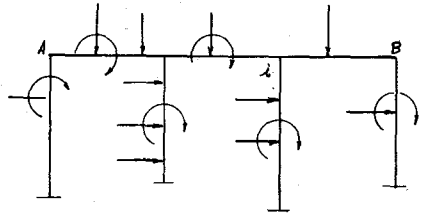


図-2

他方、柱と部材列との結合部では、部材列ABのたかたけ角と柱頭部の垂直変位が等しくなければならぬこと、および部材列ABのたかたけ角と柱頭回転角が等しくなければならぬことから次のごとく一連の変形条件式をうる。

$$y(x=x_i) = d_i \quad (i = I, II, \dots, Y) \quad (10)$$

$$\frac{dy}{dx}(x=x_i) = -\theta_{BA}^i \quad (i = 0, I, II, \dots, Y, N+1)$$

よって d_i : 柱 i の垂直変位で下向きを正とする。

θ_{BA}^i : 柱 i の柱頭回転角で時計方向を正とする。

式(10)に式(5), (6)を代入し、さらに θ_{BA}^i と式(10)を用いると、部材列ABの基本連立方程式が求まり、次のごとくとなる。

$$\begin{aligned} & -\text{sign}(M_0) \frac{M_0}{Q_0^2} + \text{sign}(M_0) \frac{M_0}{P_0^2} \left(1 - \frac{x_0}{l}\right) - \text{sign}(M_{N+1}) \frac{M_{N+1}}{P_{N+1}^2} \frac{x_0}{l} \\ & - \sum_{n=1}^N \frac{P_n \bar{M}_n}{Q_{n+1} Q_n} (1 - H_n) x_i + \sum_{n=1}^N \frac{P_n}{Q_{n+1} Q_n} \left\{ -\text{sign}(M_n) \frac{Q_{n+1} + Q_n}{Q_{n+1} Q_n} M_n + \bar{M}_n x_n \right\} \left(\frac{x_i}{l} - H_n \right) \\ & = d_i - d_0 \left(1 - \frac{x_i}{l}\right) - d_{N+1} \frac{x_i}{l} \quad (i = I, II, \dots, Y) \quad (11) \end{aligned}$$

$$\begin{aligned} & -\frac{\bar{M}_0}{Q_0} - \text{sign}(M_0) \frac{M_0}{P_0^2} \frac{1}{l} - \text{sign}(M_{N+1}) \frac{M_{N+1}}{P_{N+1}^2} \frac{1}{l} - \sum_{n=1}^N \frac{P_n \bar{M}_n}{Q_{n+1} Q_n} (1 - H_n) \\ & + \sum_{n=1}^N \frac{P_n}{Q_{n+1} Q_n} \left\{ -\text{sign}(M_n) \frac{Q_{n+1} + Q_n}{Q_{n+1} Q_n} \frac{1}{l} + \frac{x_n}{l} \bar{M}_n \right\} \end{aligned}$$

$$\begin{aligned}
 &= -\frac{1}{P\alpha} \left\{ -M_{BA}^{ci} - \text{sign}(M_{BA}^{ci}) \frac{M_{BA}^{ci}}{L} \right\} + \text{sign}(M_{AB}^{ci}) \frac{M_{AB}^{ci}}{L(P\alpha)^2} \\
 &+ \sum_{i=1}^N \frac{P\alpha^2}{Q_{i1}^{ci} Q_{i2}^{ci}} \left\{ \text{sign}(M_{i1}^{ci}) \frac{Q_{i1}^{ci} + Q_{i2}^{ci}}{Q_{i1}^{ci} - Q_{i2}^{ci}} \frac{M_{i1}^{ci}}{L_i} - \overline{M}_{i1} \frac{x_{i1}}{L_i} \right\} + \frac{1}{L_i} (d_{i1}^{ci} - d_{i2}^{ci})
 \end{aligned} \quad (2)$$

($i = 0, I, II, \dots, N, N+1$)

筋束移動のたゞ連続はりおよびラーメンに於て式(1), (2)を、また筋束移動のありラーメンに於て式(1), (2)と層分板式をそれぞれ連立に解けば、未知不確定量たる柱頭部の垂直反力、反力モーメントおよび水平変位量が算出され、本題の連続はりおよびラーメンが解けることとなる。

4. 計算例

例-3に示すラーメンにおいて、各部材がアルミニウム合金で作られるとして、その材料定数が次のごとく諸値を与えられるものとする。

$$E = 1.37 \times 10^6, \quad K = 0.82 \times 10^{-7}, \quad \alpha = \beta = 1.18, \quad \gamma = 0.0128, \quad B = 6.5 \times 10^{-12}$$

したがって、はり部材中央断面のたわみは $t = 500$ 及び 5.4% , $t = 1000$ 及び 6.2% といふ増加する。

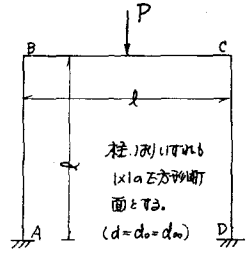


図-3

5. 結語

本論文はラーメンの曲げフリーフに於いて、たわみ角-端モーメント関係式による解法および基本連立方程式による解法の二法を提示したものであるが、1) 2) の方法はその数値計算は試算による収束計算となり、演算手順の上で特に差異はない。なお、 $t=0$ に於いては既に既述の繰返し法による解法を用いる、演算手順が等しく短縮される。

参考文献

1) 別紙1) 2)

Pao, Y. H. and Marin, J.: Deflection and Stresses in Beams Subjected to Bending and Creep. J. Appl. Mech., vol. 18, No. 4, 1952-12

Suzawa, Y. and Yamamoto, K.: Creep of Metals Under Bending or Twisting Moment. Bull. Tokyo Inst. Technology Ser. B, No. 2, 1951 70頁

2) 山本 実彦: 連続はりのたわみフリーフ. 建設省工務局技術講習会, No. 2, 10.

3) Marin, J. and Zwissler, L. E.: Creep of Aluminum Subjected to Bending at Normal Temperatures. ASTM. Proc., vol. 40, 1940